

ХИМИЯ

Я. Е. ГЕГУЗИН и Б. Я. ПИНС

ЭНЕРГИИ СМЕШЕНИЯ ДВОЙНЫХ МЕТАЛЛИЧЕСКИХ СИСТЕМ

(Представлено академиком Г. Г. Уразовым 26 IX 1950)

1. Энергии смешения представляют константы двойных систем, которые в последнее время приобрели интерес для расчетов явления упорядочения сплавов и особенно для расчетов простейших диаграмм равновесия (1-4). Из расчетов простейших диаграмм следует, что энергии смешения могут быть определены по экспериментальным данным и по ходу кривых растворимости на диаграммах равновесия (4, 5). Однако найденные таким образом значения энергии смешения могут явиться лишь константами диаграмм, но нет уверенности в том, что они соответствуют и другим свойствам сплава. Представляет интерес определение энергии смешения непосредственно по данным о свойствах сплавов, что позволило бы не только проверить правильность расчетов диаграмм равновесия, но и выяснить обоснованность толкования входящих в эти расчеты констант как действительных энергий смешения, от которых в таком случае должны зависеть такие свойства сплавов как тепловые, а также поверхностное натяжение, „ближний порядок“ в жидким состоянии и др. Подсчет показывает, что должна иметь место сравнительно простая зависимость теплот плавления сплавов и теплоемкости в области расслоения от энергий смешения в соответствующих фазах, так что нетрудно использовать экспериментальные данные о значениях указанных величин для определения энергий смешения.

В настоящем сообщении приводится краткое изложение результатов определения энергий смешения на основании измерений теплот плавления и теплоемкости в области расслоения у пяти бинарных систем: Pb—Sn, Bi—Cd, Bi—Sb, Bi—Sn и Pb—Bi.

Измерения теплот плавления и теплоемкости в области расслоения выполнялись с помощью высокотемпературного адиабатического калориметра, получившего распространение для исследования аномалий теплоемкости в твердой фазе (6, 10). В известные варианты этого калориметра были внесены простые изменения, позволявшие в одном опыте осуществлять последовательное измерение теплоемкости сплава по мере перехода его через область расслоения (от твердого тела к жидкости), а также определять теплоту плавления.

2. Измеренная экспериментально полная теплота плавления сплава Q_n есть сумма двух слагаемых:

$$Q_n = Q_k + Q_h, \quad (1)$$

где Q_h — теплота, затраченная на нагрев сплава в области расслоения, а Q_k — теплота, идущая на изменение фазового состояния сплава (мы будем называть ее „конфигурационной“ теплотой плавления).

Для определения энергии смешения необходимо знать Q_κ в функции от концентрации сплава $Q_\kappa = Q_\kappa(a)$, т. е. вычесть из экспериментально определяемой теплоты плавления Q_p величину Q_h . Мы определяли Q_h по экспериментально найденной зависимости теплоемкости в твердой и жидкой фазах от концентрации с учетом изменения количества и состава фаз, существующих в области расслоения при изменении температуры.

Расчетная зависимость $Q_\kappa = Q_\kappa(a)$ оказывается различной для систем образующих диаграмму равновесия разного типа. В том же приближении, в котором ранее производился расчет диаграмм равновесия, т. е. когда для потенциальной энергии раствора принято выражение

$$E = N \left\{ \frac{U_{AA}}{2} (1 - a) + \frac{U_{BB}}{2} a + U_0 a (1 - a) \right\}, \quad (2)$$

где U_{AA} и U_{BB} — взаимные потенциальные энергии одноименных атомов и $NU_0 = N \left[U_{AB} - \frac{U_{AA} - U_{BB}}{2} \right]$ — энергия смешения, вычисление $Q_\kappa(a)$ приводит к следующим формулам:

а) в случае неограниченной взаимной растворимости компонентов в твердой и жидкой фазах (двуухфазная система; диаграммы типа „сигара“, с точкой равных концентраций):

$$Q_\kappa(a) = Q_A (1 - a) + Q_B a + N (U_0^I - U_0^{II}) a (1 - a); \quad (3)$$

б) при полной взаимной нерастворимости компонентов в твердых фазах и неограниченной растворимости в жидкой (трехфазный случай; диаграмма с эвтектической точкой):

$$Q_\kappa(a) = Q_A (1 - a) + Q_B a + NU_0^I a (1 - a); \quad (4)$$

в) при ограниченной растворимости в одной из твердых фаз, например А (предел растворимости равен y_0), нерастворимости в другой твердой фазе и неограниченной растворимости в жидкой фазе (трехфазный случай; диаграмма с эвтектической точкой) в области концентраций $y_0 < a < 1$:

$$Q_\kappa(a) = Q_A (1 - a) + Q_B \frac{a - y_0}{1 - y_0} + \tilde{Q}_B \frac{y_0}{1 - y_0} (1 - a) + (1 - a) N [a U_0^I - y_0 U_0^{II}]. \quad (5)$$

При $a < y_0$ зависимость $Q_\kappa = Q_\kappa(a)$ дается формулой (3).

В формулах (3), (4), (5) Q_A — теплота плавления компонента А; $Q_A = N \frac{U_{AA}^I - U_{AA}^{II}}{2}$; Q_B — теплота плавления компонента B; $Q_B = N \frac{U_{BB}^I - U_{BB}^{III}}{2}$; \tilde{Q}_B — фиктивная теплота плавления компонента B, если бы он существовал в решетке типа имеющегося у А; $\tilde{Q}_B = N \frac{U_{BB}^I - U_{BB}^{II}}{2}$; U_0^I и U_0^{II} — энергии смешения в жидкой и твердой фазах (в формуле (5) U_0^{II} — энергия смешения в твердой фазе компонента А).

Как указано в (3), энергии смешения можно определить и по величине „скачков“ теплоемкости, получающихся при переходе сплава (в процессе нагревания) через линии „ликвидус“ и „солидус“. Эта возможность использовалась в настоящей работе как контрольная. По значениям энергий смешения, найденным из концентрационной за-

вистимости теплот плавления, строилась расчетная кривая температурной зависимости теплоемкости и сравнивалась с экспериментальной кривой теплоемкости. В системах Pb—Sn и Bi—Sn наблюдалось хорошее совпадение экспериментальных и построенных указанным способом расчетных кривых теплоемкости сплавов в зависимости от температуры. В системе Bi—Cd наблюдалась, наоборот, значительные расхождения.

Упоминаемое несовпадение вызывается, как удалось показать, неравновесным прохождением сплавов системы Bi—Cd через область расслоения. На величинах теплот плавления неравновесное осуществление перехода через область расслоения не сказывается.

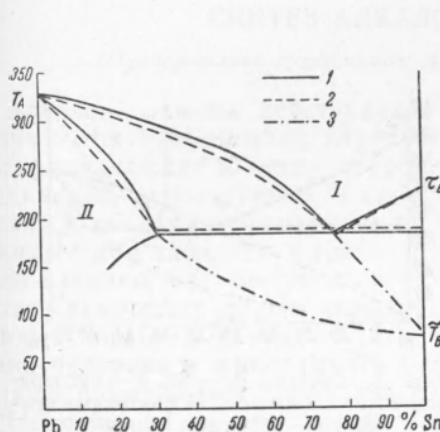


Рис. 1. Система Pb—Sn. 1 — экспериментальные линии, 2 — расчетные линии, 3 — фиктивные линии

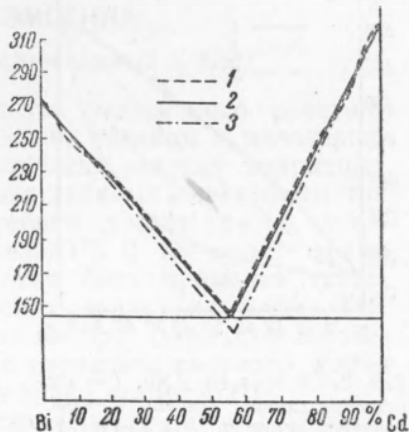


Рис. 2. Система Bi—Cd. 1 — теоретическая кривая, 2 — экспериментальная кривая, 3 — при $U_0 = 0$

3. Приведем здесь данные о константах исследованных систем.

Система Pb—Sn. Значения U_0^I и U_0^{II} равны, соответственно, $U_0^I = 1.0 \cdot 10^{-13}$ эрг/частицу; $U_0^{II} = 1.3 \cdot 10^{-13}$ эрг/частицу. По этим данным была построена расчетная * диаграмма равновесия системы Pb—Sn, показанная на рис. 1. Она довольно близко совпадает с известной из экспериментов. Пунктиром показаны фиктивные, нереализующиеся линии диаграммы.

Система Bi—Cd. $U_0^I = 0.15 \cdot 10^{-13}$ эрг/частицу. Экспериментальная и расчетная диаграмма для этой системы показаны на рис. 2. Совпадение их полное.

Система Bi—Sb. Энергия смешения определялась в этой системе по теплоте плавления и скачку теплоемкости при переходе через линию „ликвидус“ сплава 37% атомных Bi. Переход через линию „ликвидус“ осуществляется равновесно; положение этой линии установлено однозначно. Линия „солидус“ в последних работах приводится при значительно более высоких температурах, чем ранее, что уже объяснялось ⁽⁷⁾ как вызванное замедленной диффузией в твердой фазе этой системы и неравновесным осуществлением перехода (зависимость от скорости нагрева).

Найденные нами значения энергии смешения: $U_0^I = +0.27 \times 10^{-13}$ эрг/частицу; $U_0^{II} = +0.56 \cdot 10^{-13}$ эрг/частицу позволили построить равновесную диаграмму (см. рис. 3), на которой линия „ликвидус“ совпадает с экспериментальной, а линия „солидус“ расположена в области еще более высоких температур, чем это дано в последних работах.

* При расчете применялись формулы, приведенные в ⁽⁸⁾.

Для осуществления равновесного перехода через линию „солидус“ в данной системе, видимо, нужны исключительно малые скорости нагревания.

Система Bi—Sn. $U_0^I = +0,55 \cdot 10^{-13}$ эрг/частицу, $U_0^{II} = 2,65 \times 10^{-13}$ эрг/частицу. Расчетная и экспериментальная диаграммы равновесия (см. рис. 4) близки.

Система Pb—Bi. $U_0^I = -1,1 \cdot 10^{-13}$ эрг/частицу, $U_0^{II} = +8 \cdot 10^{-13}$ эрг/частицу. Расчет диаграммы не производился, так как не исследовались сплавы, лежащие в области β -фазы.

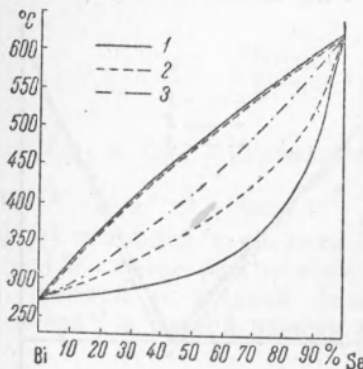


Рис. 3. Система Bi—Sb. 1—экспериментальная кривая, 2—расчетная кривая, 3— $T = \phi(x)$

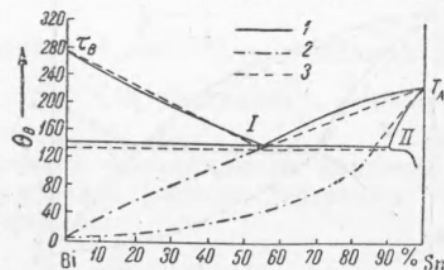


Рис. 4. Система Bi—Sn. 1—экспериментальные кривые, 2—фиктивные кривые, 3—расчетные кривые

Изложенное свидетельствует об удовлетворительном согласии (по крайней мере, в первом приближении) между данными тепловых измерений и результатами определения диаграмм равновесия и подтверждает обоснованность практикуемых приближенных расчетов диаграмм.

Заметим также, что знак и величина энергий смешения в жидкой фазе систем Pb—Sn и Bi—Sn согласуется с опубликованными данными⁽⁶⁾ о характере „близкоупорядочения“ в жидких сплавах этих систем. Толкование данных о близкоупорядочении жидких сплавов Pb—Bi в свете приведенного здесь значения $U_0^I < 0$ нуждается в пересмотре.

В заключение укажем, что с учетом так называемой „корреляции“ в твердых растворах применяемые нами приближенные выражения для энергии должны быть заменены более точными⁽⁸⁾:

$$\frac{\Delta E}{kT} = \frac{U_0}{kT} a (1-a) + \left(\frac{U_0}{kT} \right)^2 a^2 (1-a)^2 + \dots$$

Как видно, использованное приближение должно быть справедливо при $U < \frac{kT}{a(1-a)}$, т. е. во всяком случае, если $U_0 < 4kT$ (максимальное значение произведения $a(1-a)$ составляет 1/4).

Физико-технический институт
Академии наук УССР
Харьков

Поступило
26 VI 1950

ЦИТИРОВАННАЯ ЛИТЕРАТУРА

- ¹ Б. Я. Пинес, ЖЭТФ, 13, в. 11—12 (1943). ² Б. Я. Пинес, ИСФХА, 16, в. 1 (1943). ³ Б. Я. Пинес, ЖФХ, № 5 (1949). ⁴ В. И. Данилов и А. С. Каменецкая, ЖФХ, № 1 (1948). ⁵ Я. Е. Гегузин и Б. Я. Пинес, ДАН, 75, № 3 (1950). ⁶ В. И. Данилов и В. Радченко, ЖЭТФ, 7, в. 9—10 (1937). ⁷ Д. А. Петров, ЖФХ, 21, в. 12 (1947). ⁸ И. М. Лифшиц, ЖЭТФ, 9, 481 (1939). ⁹ С. Sykes, Proc. Roy. Soc., 149, 422 (1935). ¹⁰ Г. В. Курдюмов, Р. Энтин и П. Грузин, Металлург, № 8 (1940).